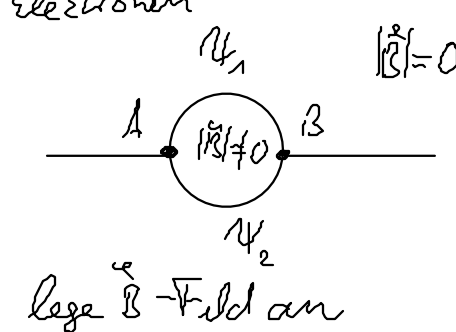
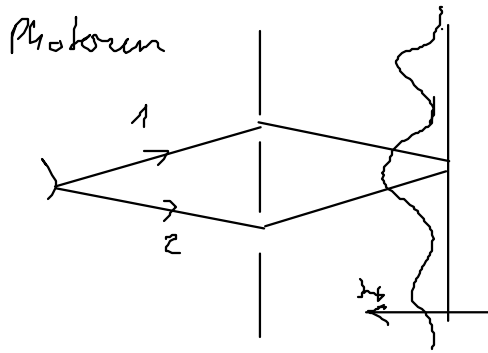


# Quanteninterferenzeffekte

## 5.1 Der Ramanoo-Bohm-Effekt

- ähnlich wie in der Optik : Youngscher Doppelspalt



### Elektronen

$$H = \frac{1}{2m} \left( \frac{\partial}{\partial r} V - \frac{q}{c} \vec{A} \right)^2 + V(r) = -\frac{q^2}{2m} \left( V - \frac{i}{\hbar} \frac{q}{c} \vec{A} \right) + V(r)$$

$$H \Psi_0(r) = E \Psi_0(r)$$

$$H \Psi_B(r) = E \Psi_B(r) \quad \text{mit } \Psi_B(r) = \exp \left[ \frac{i}{\hbar} \frac{q}{c} \int_{r_0}^r \vec{A}(r') dr' \right] \Psi_0(r)$$

$$\Psi(r) = \Psi_1(r) + \Psi_2(r) = |\Psi_1| e^{i\Theta_1} + |\Psi_2| e^{i\Theta_2}$$

$$|\Psi(r)|^2 = |\Psi_1(r)|^2 + |\Psi_2(r)|^2 + |\Psi_1||\Psi_2| 2 \cos(\Theta_1 - \Theta_2) = \Phi \text{ (durch } \Phi = \frac{q}{c} \int_{r_0}^r \vec{A}(r') dr')$$

$$\begin{aligned} \Theta_1 &\rightarrow \Theta_1^{(0)} + \frac{i}{\hbar} \frac{q}{c} \int_{r_0}^r dr' A(r') \\ \Theta_2 &\rightarrow \Theta_2^{(0)} + \frac{i}{\hbar} \frac{q}{c} \int_{r_0}^r dr' A(r') \end{aligned} \quad \left. \begin{aligned} \Theta_1 - \Theta_2 &= \Theta_1^{(0)} - \Theta_2^{(0)} + \frac{1}{\hbar} \frac{q}{c} \int_{r_0}^r dr' A(r') \\ &= \Theta_1^{(0)} - \Theta_2^{(0)} + \frac{1}{\hbar} \frac{q}{c} \phi \\ &= \Theta_1^{(0)} - \Theta_2^{(0)} + Q\pi \frac{\phi}{\Phi_0} \end{aligned} \right\}$$

$$\boxed{d_0 = \frac{\Phi_0 c}{Q}}$$

- Erhöhen von  $|\vec{B}|$  verändert  $\Theta$

- Wert von  $d_0$  ändert die Phase um  $2\pi$

⇒ konstruktive und destruktive Interferenz

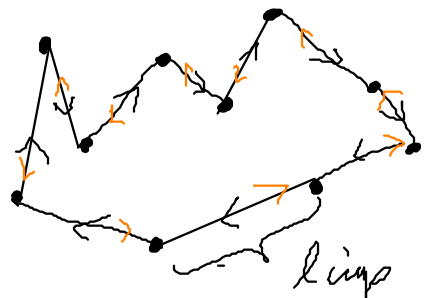
zell	den Ele	auf Schirm
höher	mit dopp	Strom

- im Allgemeinen mehrere Kanäle, addieren sich statistisch auf  
Effekt wächst nur mit  $\sqrt{N}$  und wird klein für hohe N

## 5.2 Schachbrett Lokalisierung

# Wick Stret

$$R_{\text{imp}} < L < L_f$$



Zeitangriff für Weg

$$\begin{aligned} \bar{\sigma} &\sim T_{AB} \\ \bar{\sigma} &\sim 1 - R_A \\ \bar{\sigma} &\sim |\psi(B)|^2 \end{aligned}$$

$$|\psi(B)|^2 = \sum_q |\psi_q(B)|^2 = \sum_s |\psi_q(s)|^2$$

classisch  $\uparrow$  keine Phasenverschiebung

$$\begin{aligned} \bar{\sigma} &= 2e^2 N(E_F) D \\ D &= \frac{1}{3} \int_{t_{\text{imp}}}^{\infty} dt \langle \hat{v}(t) \hat{v}(0) \rangle \\ &= v_F^2 t_{\text{imp}} \cdot \frac{1}{3} \\ \langle \hat{v}(t) \hat{v}(0) \rangle &= v_F^2 e^{-\frac{t}{t_{\text{imp}}}} \\ N(E_F) &= \frac{p_F^2}{2\pi^2 \hbar^3 v_F} \end{aligned}$$

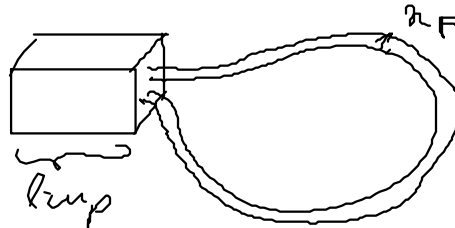
- Reflexionswahrscheinlichkeit Einf

$$\begin{aligned} |\psi(A)|^2 &= \left| \sum_q \psi_q(A) \right|^2 = \sum_q |\psi_q(s)|^2 + \sum_q \psi_q^*(A) \psi_q(A) + \dots \\ &= 2 \sum_q |\psi_q(A)|^2 \stackrel{!}{=} 2 \circ \text{classisch} \end{aligned}$$

$\Rightarrow$  Reflexionswahrscheinlichkeit ist verstärkt, maximal verdoppelt  
Transmissionsw. ist halbiert

## Bedingte Wahrscheinlichkeitsdichte

$$w(\vec{r}, t; \vec{r}_0, t_0)$$



$$t \geq t_{\text{imp}} \quad (\text{diffusiver Limes})$$

- Betrachte Radiale Wahrscheinlichkeitsdichte  $w_r(0, 0, t, 0)$

$$\Delta D = -\frac{1}{3} \int_{t_{\text{imp}}}^{\infty} dt v_F^2 \left( \frac{\partial \psi}{\partial r} \right)^2 |_{\text{lump}} \tilde{w}_r \frac{1}{2\pi}$$

$$\Delta \bar{\sigma} = -\frac{2e^2}{\pi \hbar} D \cdot \int_{t_{\text{imp}}}^{\infty} dt \tilde{w}_r \quad \text{schwache Lokalisierung (keine Felder)}$$

- $\tilde{w}_r$  erfüllt Diffusionsgleichung

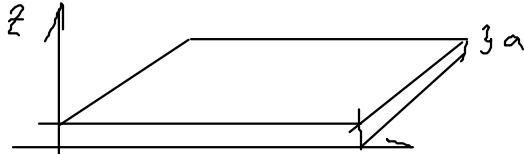
- $\tilde{w}_r$  erfüllt Diffgl. und Zerstörung der Phasenverschiebung

$$\left( \frac{d}{dt} - D \nabla^2 + \frac{1}{\tau_{\text{cy}}} \right) \tilde{w}_r(\vec{r}, 0, t, 0) = \delta(t) \delta(\vec{r})$$

## Lözung Diffusionsgleichung

$$\text{Solu: } \tilde{w}(\vec{r}, 0, t, 0) = \frac{1}{(4\pi D t)^{\frac{3}{2}}} e^{-\frac{r^2}{4Dt} - \frac{t}{\tau_{\text{cy}}}}$$

• 2dim:



$$\tilde{w}(x, y, z_f; 0, 0, z_f; t, 0) = \frac{1}{4\pi D a} e^{-\frac{(x^2+y^2)}{4Dt}} \sum_{m=-\infty}^{\infty} \cos\left(\frac{\pi m}{a} z_f\right) \cos\left(\frac{\pi m}{a} z_i\right) e^{-\frac{\pi^2 m^2}{a^2}}$$

$a \ll \sqrt{Dt}$   $\Rightarrow$  near  $m=0$

$$\tilde{w}(r, 0, d, 0) = \frac{1}{4\pi D a} e^{-\frac{r^2}{4Dt}} - \frac{t}{\tau_p}$$

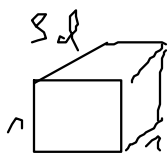
• 1dim:

$$\tilde{w}(x, 0, t, 0) = \frac{1}{\sqrt{4\pi D t a^2}} e^{-\frac{x^2}{4Dt}} - \frac{t}{\tau_p}$$

Rückstrahlwahrscheinlichkeit

$$\tilde{w}_f = \tilde{w}(0, 0, t, 0) = \frac{a^{d-3}}{(4\pi D t)^{\frac{d}{2}}} e^{-\frac{t}{\tau_p}}$$

• definiere Leitwert der folgenden Elemente



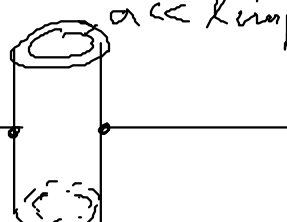
$$g = a^{3-d} \cdot b$$

• für  $a \ll L_y = \sqrt{Dt_p}$

$$\Delta g = a^{3-d} \Delta b = -\frac{c^2}{4} \cdot \begin{cases} \frac{\sqrt{3}}{\pi} \frac{1}{\tau_p} - \frac{1}{\sqrt{Dt_p}} & d=3 \\ \ln\left(\frac{c}{\tau_p}\right) & d=2 \\ 2\pi \frac{c}{\sqrt{Dt_p}} & d=1 \end{cases}$$

•  $\tau_p(T)$  ist temperaturabhängig  $\Rightarrow \Delta g$  messbar

## Strassn - Strassn



$a \ll L_y$  Diffusion in 2d-Film, eingeschlossener Flüssigstrang fließt von der Verdunstungsfläche ab.

$$\tilde{w}_f = \sum_{n=-\infty}^{\infty} \frac{1}{4\pi D a} \exp\left[-\frac{uL^2}{4Dt} + 2\pi i n \frac{\phi}{\phi_0} - \frac{t}{\tau_p}\right]$$

$$= \tilde{w}_f^{(0)} + 2 \cos\left(d\pi \frac{\phi}{\phi_0}\right) \frac{1}{4\pi D a} \exp\left[-\frac{uL^2}{4Dt} - \frac{t}{\tau_p}\right]$$

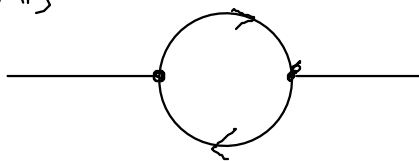
$$\Rightarrow \Delta g = \Delta g(B=0) - \frac{2e^2}{\pi h} \cos\left(\frac{\phi_0}{\phi_0}\right) \underbrace{\int dt \frac{1}{\epsilon} \exp\left[-\frac{uL^2}{4\pi D \epsilon t} - \frac{t}{\tau_p}\right]}_{\text{Einp}} \underbrace{= k_0 \left(\frac{L}{\tau_p}\right)}_{\text{modifizierte Besselfunk}}$$

• Lenzfachigkeit oszilliert mit Periode  $\phi_0$

Aber  $\boxed{\phi_0 = \frac{hc}{2e}}$

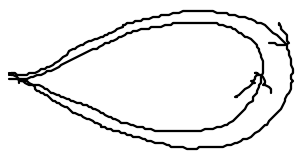
Vergleich

A.B



$$\phi = \frac{hc}{e}$$

Skizzieren



$$\phi = \frac{hc}{2e}$$